



Introducción a las Ondas de Choque

Luis Moraga

Centro de Física Experimental, Facultad de Ciencias, Universidad de Chile

Curso de Pre- y Postgrado ONDAS DE CHOQUE, 2008



Asunto:

Introducción

La naturaleza de las ondas de choque:

Continuidad en las superficies de discontinuidad:

Adiabática de choque

Propiedades de la onda de choque

Ondas de choque en gases politrópicos

Ondas de choque fuertes

Atenuación de las ondas de choque

Aplicaciones

Frenado hipersónico de un objeto romo

Propagación de perturbaciones en un gas en movimiento

Características

Problemas resueltos



La naturaleza de las ondas de choque:

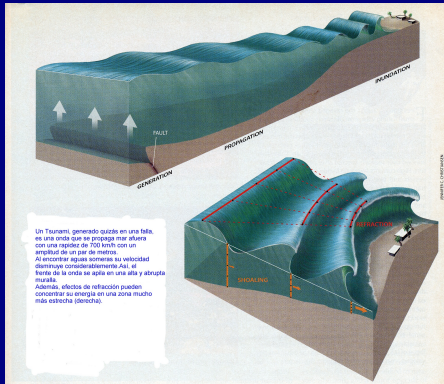


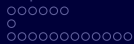
Figura: Un tsunami.



La naturaleza de las ondas de choque:



Figura: Ejemplo de una onda de choque



La naturaleza de las ondas de choque:



Figura: Hugoniot y compañeros (1870)



La naturaleza de las ondas de choque:

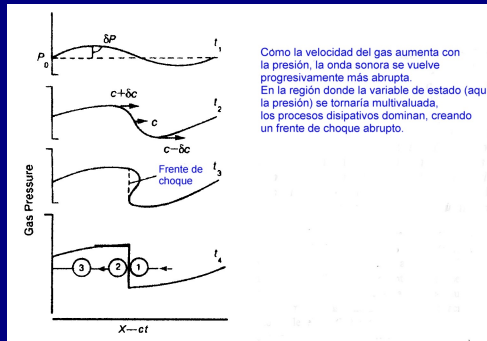


Figura: Formación de una onda de choque



La naturaleza de las ondas de choque:

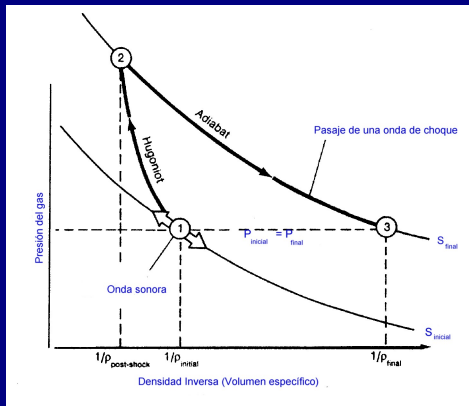


Figura: Pasaje de una onda sonora y de una onda de choque.



La naturaleza de las ondas de choque:



Al paso de una onda sonora (1), el sistema oscila a lo largo de una adiabática (curva de entropía constante). Por el contrario, al paso de una onda de choque, el sistema salta de una manera irreversible a lo largo de una Hugoniot hasta otro estado (2) con mayor presión, densidad y entropía. Pasada la onda de choque, el sistema relaja a lo largo de una nueva adiabática hasta un estado (3) con la presión original, pero menor densidad y mayor entropía y temperatura.



Continuidad en las superficies de discontinuidad:

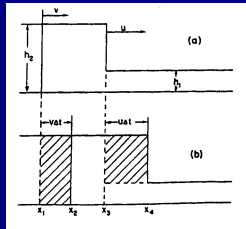
¿ Qué cambia de un modo continuo a través de la superficie de discontinuidad?

- ▶ El flujo de masa.
- ▶ El flujo de momentum.
- ▶ El flujo de energía.



Continuidad en las superficies de discontinuidad:

Onda de marea propagándose a lo largo de un canal rectangular:



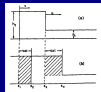
v es la velocidad del agua detrás del frente de discontinuidad. u es la velocidad del frente de discontinuidad.

Conservación de masa: $h_2 v \Delta t = (h_2 - h_1) u \Delta t$.

$$v = u \left(1 - \frac{h_1}{h_2} \right).$$



Continuidad en las superficies de discontinuidad:



Masa adicional que adquiere rapidez $v = \rho h_2 u \Delta t - \rho h_2 v \Delta t$
 Fuerza neta hacia la derecha $= \frac{1}{2} \rho g h_2^2 - \frac{1}{2} \rho g h_1^2$

$$(\rho h_2 u \Delta t - \rho h_2 v \Delta t) v = \left(\frac{1}{2} \rho g h_2^2 - \frac{1}{2} \rho g h_1^2 \right) \Delta t$$

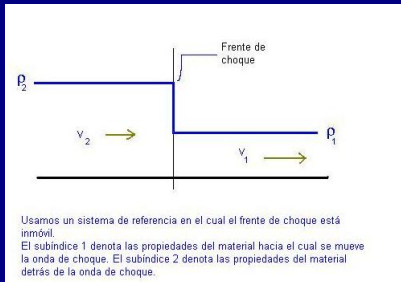
$$u^2 = \frac{1}{2} g (h_2 + h_1) \frac{h_2}{h_1}$$

Si $h_1 \simeq h_2$, entonces $u \simeq \sqrt{gh}$.



Adiabática de choque

Condiciones de continuidad:



Continuidad de la corriente de masa:

$$\rho_1 v_1 = \rho_2 v_2 = j. \quad (1)$$

j = corriente de masa = densidad de momentum.



Continuidad de la corriente de momentum:

$$p_1 + \rho_1 v_1^2 = p_2 + \rho_2 v_2^2. \quad (2)$$

Continuidad de la corriente de energía:

$$w_1 + \frac{1}{2}v_1^2 = w_2 + \frac{1}{2}v_2^2. \quad (3)$$

$$w = \epsilon + pV$$

w : densidad de entalpía. ϵ : densidad de energía interna.



Ecuaciones fundamentales:

$$j^2 = \frac{p_2 - p_1}{V_1 - V_2} \quad (\text{Línea de Rayleigh.})$$

$$\epsilon_1 - \epsilon_2 + \frac{1}{2}(V_1 - V_2)(p_1 + p_2) = 0$$

(Adiabática de choque o Hugoniot.)

$V_1 = 1/\rho_1$, $V_2 = 1/\rho_2$: Volúmenes específicos.



Adiabática de choque

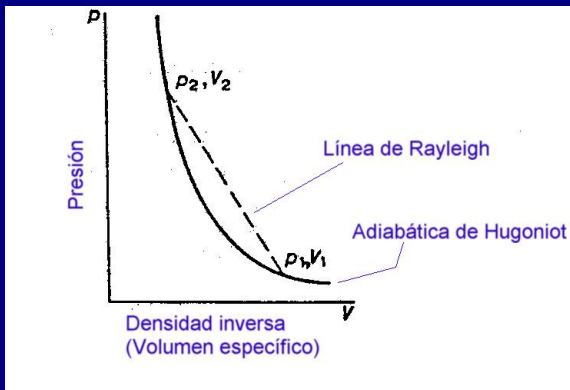


Figura: p_1, V_1 estados iniciales. p_2, V_2 estados finales.



Gases politrópicos

Un gas *politrópico* es uno en el cual la presión es inversamente proporcional a una potencia (entera, fraccional o irracional) del volumen:

$$p = \frac{\text{Constante}}{V^\gamma}.$$

En este gas la curva de entropía constante (adiabática de Poisson) es

$$pV^\gamma = \text{Otra constante}.$$

La energía interna es

$$\epsilon = c_V T = \frac{pV}{\gamma - 1} = \frac{c^2}{\gamma(\gamma - 1)}.$$

La entalpía es

$$w = c_p T = \frac{\gamma pV}{\gamma - 1} = \frac{c^2}{\gamma - 1}.$$



Ondas de choque en gases politrópicos

En un gas politrópico la adiabática de choque (o de Hugoniot)

$$w_1 - w_2 + \frac{1}{2}(V_1 + V_2)(p_2 - p_1) = 0$$

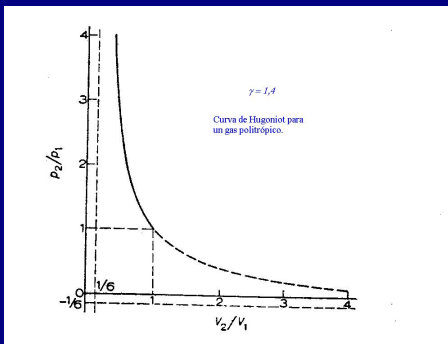
resulta ser

$$\begin{aligned} \frac{\rho_1}{\rho_2} &= \frac{V_2}{V_1} = \frac{(\gamma + 1)p_1 + (\gamma - 1)p_2}{(\gamma - 1)p_1 + (\gamma + 1)p_2} \\ &= \frac{(\gamma + 1)M_1^2}{(\gamma - 1)M_1^2 + 2} \end{aligned}$$

donde $M_1 = v_1/c_1$ es el número de Mach.



Adiabática de Hugoniot en un gas politrópico





Ondas de choque en gases politrópicos

Relación entre las temperaturas a uno u otro lado de la discontinuidad:

$$\begin{aligned} \frac{T_2}{T_1} &= \frac{p_2 (\gamma + 1)p_1 + (\gamma - 1)p_2}{p_1 (\gamma - 1)p_1 + (\gamma + 1)p_2} \\ &= \frac{[2\gamma M_1^2 - (\gamma - 1)][(\gamma - 1)M_1^2 + 2]}{(\gamma + 1)^2 M_1^2}. \end{aligned}$$



Relación entre las presiones a uno u otro lado de la discontinuidad:

$$\frac{p_2}{p_1} = \frac{2\gamma M_1^2}{\gamma + 1} - \frac{\gamma - 1}{\gamma + 1}.$$



Relación entre los números de Mach (o las velocidades) a uno u otro lado de la discontinuidad:

$$M_2^2 = \frac{2 + (\gamma - 1)M_1^2}{2\gamma M_1^2 - (\gamma - 1)};$$

o (más simétricamente)

$$\gamma M_1^2 M_2^2 - \frac{1}{2}(\gamma - 1)(M_1^2 + M_2^2) = 1.$$



Ondas de choque fuertes

Ondas de choque fuertes

$$(\gamma - 1)p_2 \gg (\gamma + 1)p_1$$

$$\frac{V_2}{V_1} = \frac{\rho_1}{\rho_2} = \frac{\gamma - 1}{\gamma + 1}.$$

Note que el valor máximo de ρ_2 es $\rho_2 = 4\rho_1$ para un gas monoatómico y $\rho_2 = 6\rho_1$ para uno diatómico.

$$\frac{T_2}{T_1} = \frac{\gamma - 1}{\gamma + 1} \frac{p_2}{p_1}.$$

En cambio, T_2 puede ser arbitrariamente mayor que T_1 .



Atenuación de las ondas de choque

¿Dónde se produce la discontinuidad?

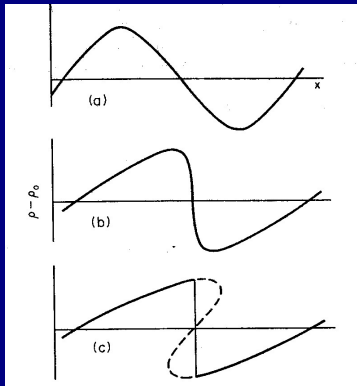


Figura: Formación de una onda de choque.



Atenuación de las ondas de choque

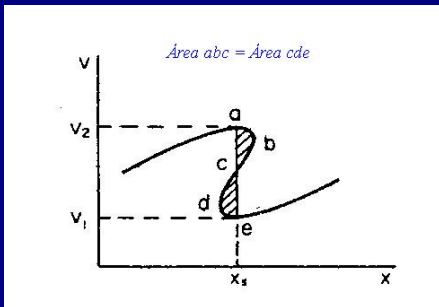


Figura: Las áreas achuradas son iguales.

$$\int_{abcd} (x - x_s) dv = 0.$$



En primera aproximación, hay una relación lineal entre la rapidez del fluido y la del frente de choque $u \simeq c_0 + \alpha v$, con

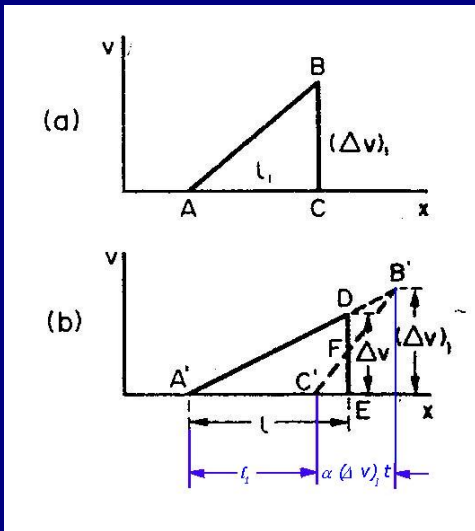
$$\begin{aligned}\alpha &= \frac{c^4}{2v^2} \left(\frac{\partial^2 V}{\partial p^2} \right)_S \\ &= \frac{1}{2}(\gamma + 1)\end{aligned}$$

para un gas politrópico.



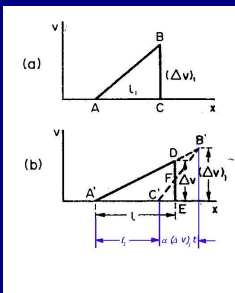
Atenuación de las ondas de choque

$$\text{Área } ABC = \text{Área } A'DE$$





Atenuación de las ondas de choque



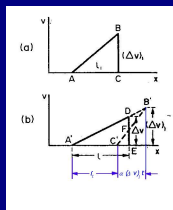
Distancia entre B' y $C' = \alpha(\Delta v)_1 t$.

Tangente del ángulo $DA'E$

$$= \frac{(\Delta v)_1}{l_1 + \alpha t (\Delta v)_1} = \frac{\Delta v}{l}$$



Atenuación de las ondas de choque



Igualdad de áreas:

$$\frac{1}{2} l_1 (\Delta v)_1 = \frac{1}{2} l (\Delta v)_2 = \frac{l^2 (\Delta v)_1}{2[l_1 + \alpha t (\Delta v)_1]}$$

Entonces:

$$l = l_1 \sqrt{1 + \alpha t (\Delta v)_1 / l_1} \quad (4)$$



Atenuación de las ondas de choque

Además:

$$\Delta v = \frac{(\Delta v)_1}{\sqrt{1 + \alpha t (\Delta v)_1 / \ell_1}}, \quad (5)$$

$$E = \frac{1}{2} \rho \int v^2 dx = \frac{1}{6} (\Delta v)^2 \ell,$$

esto es,

$$E = \frac{E_0}{\sqrt{1 + \alpha t (\Delta v)_1 / \ell_1}}. \quad (6)$$

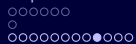


Atenuación de las ondas de choque

Ondas planas

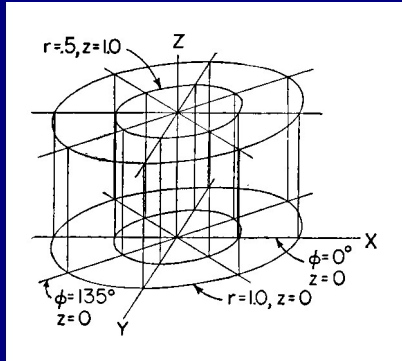
En conclusión, cuando $t \rightarrow \infty$,

- ▶ La discontinuidad en velocidad disminuye asintóticamente como $1/\sqrt{t}$ (o, equivalentemente, $1/\sqrt{x}$),
- ▶ La energía de una onda de choque disminuye asintóticamente como $1/\sqrt{t}$.
- ▶ La longitud del pulso aumenta asintóticamente como \sqrt{t} .
- ▶ La pendiente del perfil $\Delta v/\ell$ es, asintóticamente, independiente del tiempo.



Atenuación de las ondas de choque

Ondas cilíndricas.



Una *onda cilíndrica* es una solución de la ecuación de onda que depende sólo de $r = \sqrt{x^2 + y^2}$ y t .



Atenuación de las ondas de choque

La función $\psi(x, t) = \text{una constante}$ es una posible onda plana.

La función $\psi(r, t) = \text{una constante}$ no es una onda cilíndrica posible.

Por lo tanto, al paso de una onda de choque cilíndrica, la zona de compresión debe estar necesariamente seguida de otra de rarefacción.

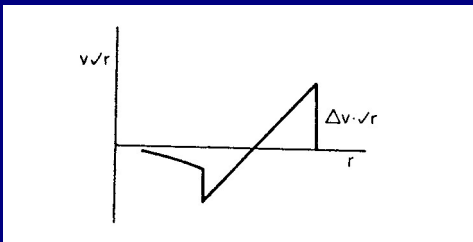
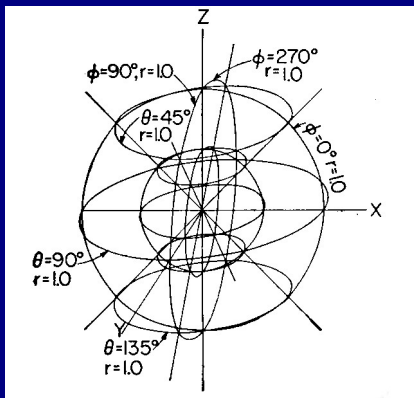


Figura: Perfil de una onda de choque cilíndrica.



Atenuación de las ondas de choque

Ondas esféricas.



Una *onda esférica* es una solución de la ecuación de onda que depende sólo de $r = \sqrt{x^2 + y^2 + z^2}$ y t .



Atenuación de las ondas de choque

Atenuación de ondas de choque cilíndricas y esféricas.

Se concluye que, asintóticamente cuando $r \rightarrow \infty$,

- ▶ Para una onda cilíndrica,

$$\Delta v \propto \frac{1}{r^{3/4}}.$$

- ▶ Para una onda esférica,

$$\Delta v \propto \frac{1}{r \log(r/a)}.$$

Introducción

○○○○○○
○○○
○○○○

Propiedades de la onda de choque

○○○○○○
○
○○○○○○○○○○○○

Aplicaciones

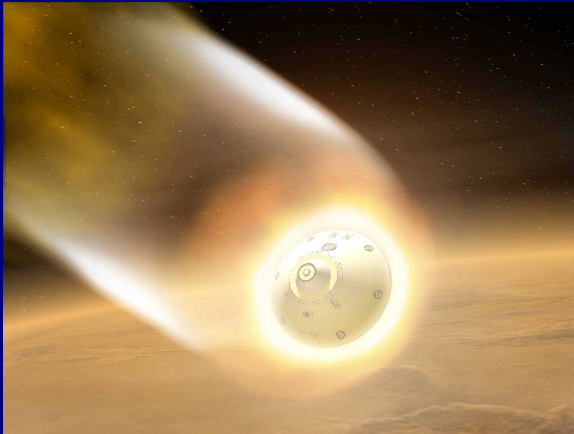
●○○○○○

Propagación de perturbaciones en un gas en movimiento

○○○
○○○○○○○○

Frenado hipersónico de un objeto romo

Explorador de Marte





Frenado hipersónico de un objeto romo

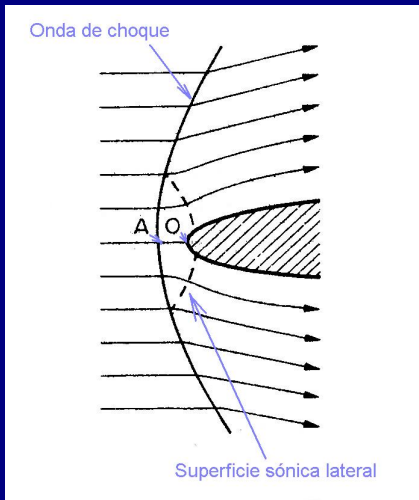
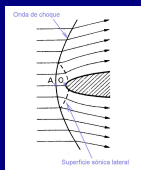


Figura: Objeto romo en movimiento supersónico



Frenado hipersónico de un objeto romo



$$p_2 = p_1 \frac{2\gamma M_1^2 - (\gamma - 1)}{\gamma + 1};$$

$$v_2 = c_1 \frac{2 + (\gamma - 1)M_1^2}{2 + (\gamma + 1)M_1^2};$$

$$\rho_2 = \rho_1 \frac{(\gamma + 1)M_1^2}{2 + (\gamma - 1)M_1^2}.$$



Frenado hipersónico de un objeto romo



A lo largo de la línea de corriente AO , por Bernoulli:

$$w + \frac{1}{2}v^2 = w_0.$$

Para un gas politrópico

$$w = \frac{c^2}{\gamma - 1}; \quad \rho = \rho_0 \left(\frac{T}{T_0} \right)^{1/(\gamma-1)}; \quad p = p_0 \left(\frac{\rho_0}{\rho} \right)^\gamma.$$



Frenado hipersónico de un objeto romo



$$\frac{T_0}{T_2} = 1 + \frac{1}{2}(\gamma - 1)M_2^2;$$

$$\frac{\rho_0}{\rho_2} = \left[1 + \frac{1}{2}(\gamma - 1)M_2^2\right]^{1/(\gamma-1)};$$

$$\frac{p_0}{p_2} = \left[1 + \frac{1}{2}(\gamma - 1)M_2^2\right]^{\gamma/(\gamma-1)};$$

Entonces,

$$p_0 = p_1 \left(\frac{\gamma + 1}{2}\right)^{(\gamma+1)/(\gamma-1)} \frac{M_1^2}{\left[\gamma - \frac{1}{2}(\gamma - 1)/M_1^2\right]^{1/(\gamma-1)}}.$$



La presión en el vértice del objeto romo,

$$p_0 = p_1 \left(\frac{\gamma + 1}{2} \right)^{(\gamma+1)/(\gamma-1)} \frac{M_1^2}{\left[\gamma - \frac{1}{2}(\gamma - 1)/M_1^2 \right]^{1/(\gamma-1)}},$$

es menor (para $M_1 > 1$) que la que se obtendría por pura retardación adiabática:

$$p_0 = p_1 \left(\frac{\gamma + 1}{2} \right)^{(\gamma+1)/(\gamma-1)} \frac{M_1^2}{\gamma^{1/(\gamma-1)}}.$$



Ecuaciones fundamentales

$$\frac{\partial \rho}{\partial t} + \nabla \cdot \mathbf{j} = 0; \quad (\text{Ecuación de continuidad.})$$

$$\frac{\partial \rho}{\partial t} + \rho \frac{\partial v}{\partial x} + v \frac{\partial \rho}{\partial x} = 0;$$

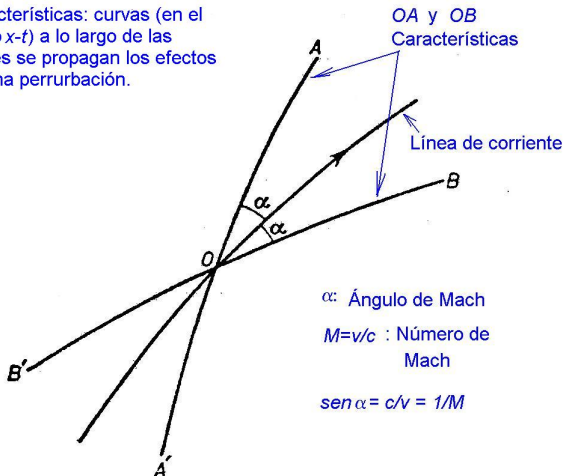
$$\frac{\partial p}{\partial t} + v \frac{\partial p}{\partial x} + \rho c^2 \frac{\partial v}{\partial x} = 0; \quad c^2 = \left(\frac{\partial p}{\partial \rho} \right)_S \quad (7)$$

$$\frac{\partial v}{\partial t} + v \frac{\partial v}{\partial x} + \frac{1}{\rho} \frac{\partial p}{\partial x} = 0; \quad (\text{Ecuación de Euler.}) \quad (8)$$



Características

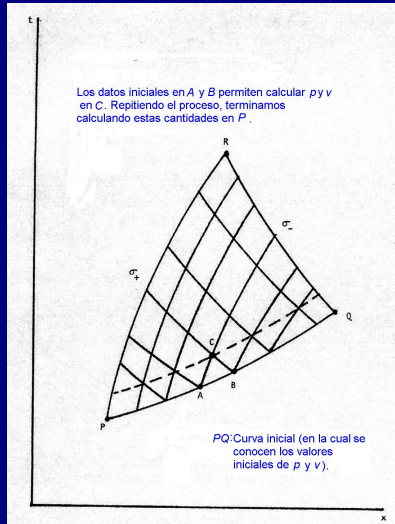
Características: curvas (en el plano $x-t$) a lo largo de las cuales se propagan los efectos de una perturbación.



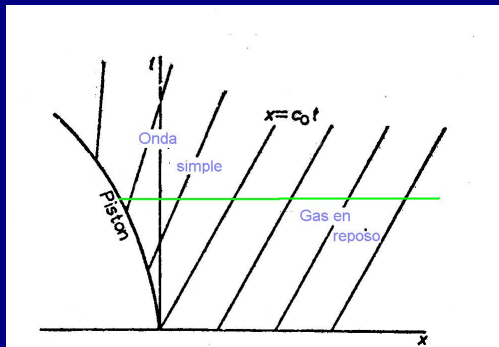


Características

Propagación de los valores iniciales



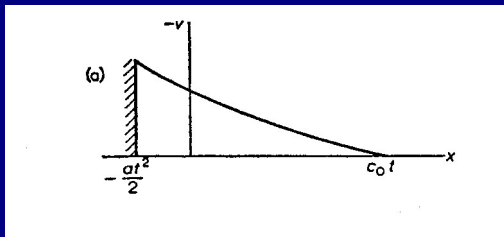
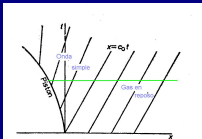
Pistón descomprimiendo un cilindro



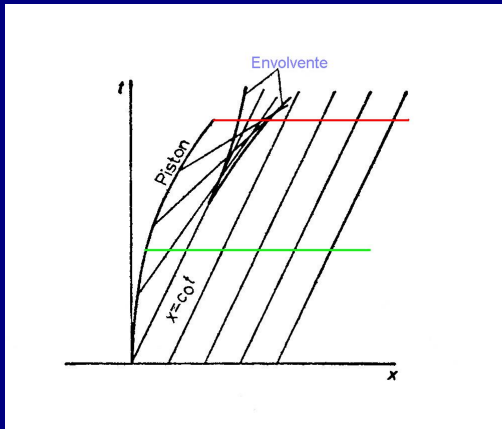
Como el gas vecino al cilindro se mueve junto con el, las características parten formando un ángulo fijo con su trayectoria $t - x$.



Perfil v contra x



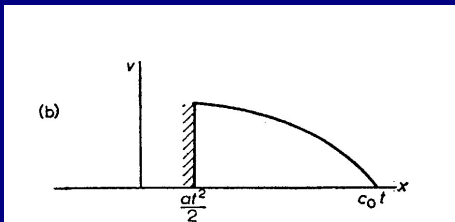
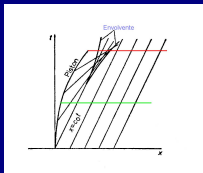
Pistón comprimiendo un cilindro



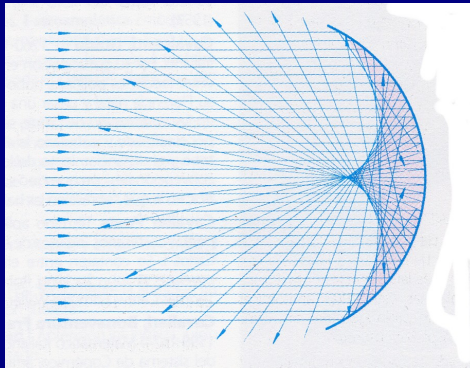
Transcurrido un tiempo breve (en verde) se tiene una solución univaluada



Perfil v contra x (tiempos breves)



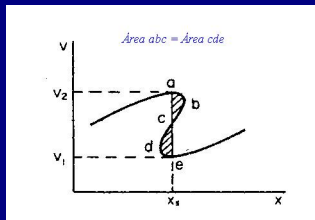
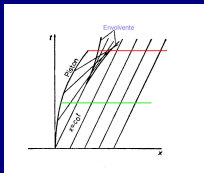
Cáustica



La familia de rayos reflejados por un espejo esférico tiene una envoltente. De acuerdo con la óptica geométrica, la intensidad de la luz es infinita en la envoltente.

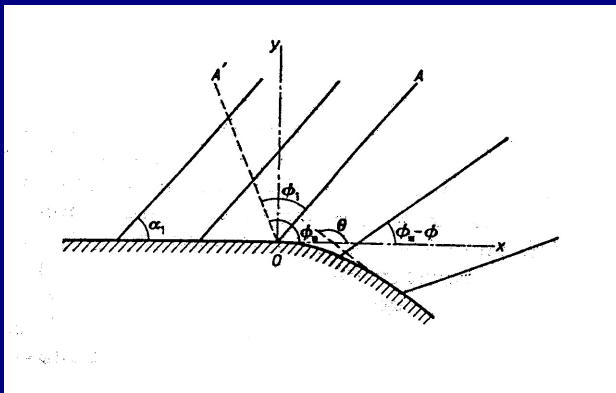


Perfil v contra x (tiempos largos)



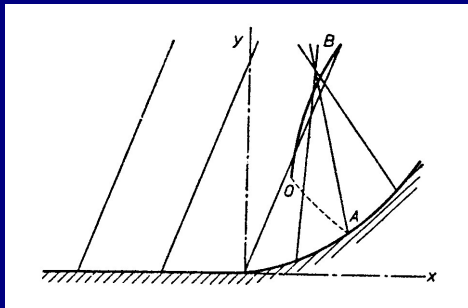
Para tiempos largos (en rojo) se obtiene una solución multivaluada.

Flujo a lo largo de un terreno convexo



El flujo a la izquierda de la característica OA es uniforme. A su derecha, es cada vez más rarificado. No se forma ondas de choque.

Flujo a lo largo de un terreno cóncavo



A lo largo de OB se forma un frente de choque. Por debajo de O se tiene un flujo regular con compresión creciente.